

京都大学 正会員 工博 山田善一  
京都大学 正会員 工修 田中啓和

1. まえがき 構造物の長大化・超高层化に伴い、長周期構造物の耐震設計法の開発が要望される。これまでも、多くの人々により、かゝる構造物の動的解析が発表されている。今回の発表もその方向のものであるが、外力である地震現象を非定常確率過程の地震動ヒストアソシ分布とみなす生起過程により成る不規則現象として把え、構造物の耐震安全性をFirst-excitation failureの問題から解析している。最終的には、将来のある期間後の安全性評価をスペクトル表示して、動的耐震安全性に関する一つの応答規準量を提案している。

2. 地震動のシミュレーション 単一地震による地震動は、数多くの種々パラメータ及びある地盤において確定的となるパラメータを含み、不規則性を有する。解析上の都合から、これらのパラメータを最小限に置き、地震加速度に次式で表現を仮定している。

$$f(t) = \psi(\alpha_1, \alpha_2; t) g(\alpha_3, \alpha_4, \alpha_5; t) \quad (1)$$

ここで、 $g(\alpha_3, \alpha_4, \alpha_5; t)$  は定常確率過程を表し、その自己相関関数を

$$E\{g(t)g(t+\tau)\} = \frac{1}{2\pi} \int_{-\infty}^{\infty} S_g(\omega) e^{i\omega\tau} d\omega \quad (2)$$

$S_g(\omega)$  は  $g(t)$  のノーワースペクトル密度で Fig. 1 に示す地盤系の運動方程式

$$\ddot{X}_g(t) + 2\zeta_g \dot{X}_g(t) + (\omega_g^2 + U_g^2) X_g(t) = n(t) \quad (3)$$

より算出される応答量をもつて採用している。 $\omega_g, U_g$  は (1) 式の  $\alpha_3, \alpha_4$  に相当するもので、 $n(t)$  は基盤からの入力オット・ノイズを表し、その強度レベルを D (or  $\alpha_5$ ) とする。一方、 $\psi(t)$  は定常不規則関数  $g(t)$  を非定常に取り扱うための確定期間数を次式と仮定している。

$$\psi(\alpha_1, \alpha_2; t) = (\bar{e}^{-\alpha_1 t} - \bar{e}^{-\alpha_2 t}) H(t) \quad (4)$$

以上の式を利用して模擬された地震動(1)、其分散として

$$E\{f(t_1)f(t_2)\} = \psi(t_1)\psi(t_2) \bar{e}^{-U_g(t_2-t_1)} \{U_g(U_g^2 - 3U_g^2) \sin \omega_g(t_2-t_1) \\ + U_g(U_g^2 + 5U_g^2) \cos \omega_g(t_2-t_1)\} D / 4\omega_g U_g \quad (5)$$

シミュレーションに使用したパラメータを Table 1 に示す。また、 $g(t)$  の自己相関関数を Fig. 2 に、擬似地震動の分散を Fig. 3 に示す。

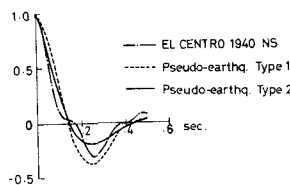


Fig. 2 Auto-correlation function of  $g(t)$

Table 1 Values used for the simulation of earthquake motion				
Values for parameters	$a_1$	$a_2$	$a_3$	$a_4$
Pseudo-earthq. motion			$(\omega_g)$	$(\mu_g)$
Type 1	0.25	0.50	12.3	3.86
Type 2	0.25	0.50	10.9	6.28

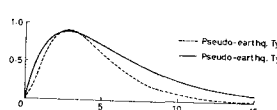


Fig. 3 Standard deviation of input acceleration

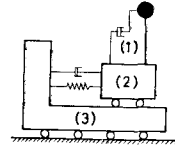


Fig. 1 Idealized system of foundation layer and structure

- (1) STRUCTURE
- (2) FOUNDATION LAYER
- (3) BASE ROCK

\* Y. Yamada & H. Takemiya: Studies on the statistical safety evaluation of long-period structures against earthquakes (技術会議論文集投稿中)

3. 擬似地震動による構造物耐候 構造物の応答解析は、一般には、多自由度系に対しては減衰項にのみ仮定を設けてモード分解し、各モード効果を重ね合せて応答部値とする。そこで各モードに相当する自由度系について応答解析を行なっている。

$$\text{運動方程式は、最終的には } \ddot{\varphi}(t) + 2\zeta\dot{\varphi}(t) + \omega_0^2\varphi(t) = -f(t) \quad (6)$$

従って、応答値  $\varphi(t)$  は  $\varphi(0)$  と  $\dot{\varphi}(0)$  の積分式

$$\varphi(t) = \int_0^t \varphi(t-\tau) f(\tau) d\tau \quad (7) \quad \text{且し} \quad f(t) = \frac{1}{\omega_0} e^{-\zeta t} \sin \omega_0 t$$

(7)式においては、外力が確率的にのみ定義されているので、応答値も分散あるいは共分散として評価され得る。これらを 1つ式で表現すれば

$$\sigma^2(t; l, m) = \int_0^t \int_0^t \frac{\partial^2}{\partial t^2} \varphi(t-\tau_1) \frac{\partial^2}{\partial t^2} \varphi(t-\tau_2) E[f(t_1)f(t_2)] d\tau_1 d\tau_2 \quad (8)$$

ここで、 $l, m$  は 0 または 1 を取るものとする。

4. 構造物の耐震安全性評価 地震外力に対する構造物の破壊を first-excitation failure と定義するならば、先づ、地震動に間もなくは規準 Barrier, B の応答超過確率を threshold crossing の理論より

$$E[N_+(B, t)] = \frac{1}{2\pi} \frac{\alpha(t; 1, 1)}{\alpha(t; 0, 0)} \exp\left[\frac{1}{2}\left(\frac{B}{\alpha(t; 0, 0)}\right)^2\right] \left[ \sqrt{1-p^2} \exp\left(-\frac{p^2}{2(1-p^2)}\left(\frac{B}{\alpha(t; 0, 0)}\right)^2\right) + \frac{\pi}{2} p \left(\frac{B}{\alpha(t; 0, 0)}\right) \left(1 + \operatorname{erf}\left(\frac{p}{\sqrt{2(1-p^2)}}\left(\frac{B}{\alpha(t; 0, 0)}\right)\right)\right) \right] \quad (9)$$

$$\Rightarrow \therefore p = \alpha^2(t; 0, 1) / (\alpha(t; 0, 0)\alpha(t; 1, 1))$$

(9)式を導く当り、変位・速度の 2 次元ガウス分布を仮定している。

$t = 3\sigma$ 、Barrier が大きくなると超過確率が非常に小さい場合には、

one duration の地震動に対する構造物の破壊確率は

$$P_f(B, t_r) = 2[1 - \exp\left[-\int_0^{t_r} E[N_+(B, t)] dt\right]] \quad (10)$$

ここで、 $t_r$  は地震動の継続時間と表す。

構造物の耐用年数算定のために、(10)式を更に、地震の生起過程に適合せねばならない。この分布に Poisson 分布を採用して信頼性関数などを求めると

$$L(t) = \sum_{k=0}^{\infty} (kt)^k e^{-kt} \frac{(1-p_f)^k}{k!} = e^{-kt} p_f^k \quad (11)$$

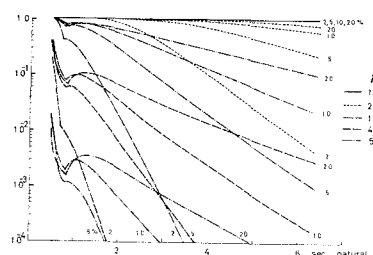
$k$  は対象規模の地震の再現期間の逆数である。従て、使用期間を通じて構造物の破壊は

$$F(t) = 1 - L(t) \quad (12)$$

計算結果を Fig. 4 に  $P_f$  と、Fig. 5 に  $F(t)$  を示す。後者は、東京での過去の地震記録 JMA 50 年以上もので JMA 7 以上のものについて描かれ。結論として、長周期構造物の規準化容量として次の値を用ひておけば十分である。

$$B = \gamma \times (\text{stationary asymptote})$$

$$\gamma = \begin{cases} 1.0 \sim 4/3 & \text{for } T_r = 1.0 \sim 4.0 \text{ sec.} \\ 2/3 \sim 1.0 & \text{for } T_r = 4.0 \sim 6.0 \text{ sec.} \end{cases}$$



(a)  $1/T_r = 0.0769$

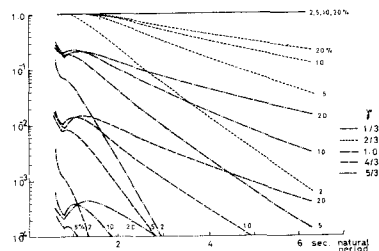
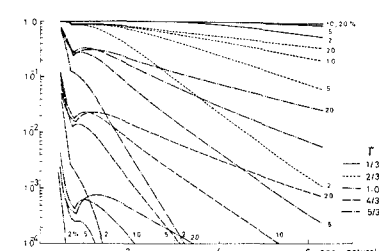


Fig. 4 Probability of failure during earthquake motion Pseudo-earth. Type 2



(b)  $1/T_r = 0.0169$

Fig. 5 Probability of failure after 100 years, Pseudo-earth. Type 2